

# بررسی تجربی و عددی تأثیر شرایط جریانی و هندسی اتمایزر هوا - وزش بر مشخصات اسپری

مازیار شفایی روشنی<sup>۱</sup>، سجاد محمودزاده<sup>۲</sup>، آرمین آبده کیخا<sup>۳</sup>

۱ استادیار دانشکده علوم و فنون نوین، دانشگاه تهران، تهران، mshafaee@ut.ac.ir

۲ دانشجوی کارشناسی ارشد، دانشکده علوم و فنون نوین، دانشگاه تهران، تهران

۳ دانشجوی دکتری دانشکده علوم و فنون نوین، دانشگاه تهران، تهران

تاریخ دریافت: ۱۳۹۴/۱۱/۰۱

تاریخ پذیرش: ۱۳۹۴/۱۲/۱۲

## چکیده

در مقاله حاضر مطالعه‌ای آزمایشگاهی به همراه شبیه‌سازی عددی توسط نرم‌افزار اوپن‌فوم برای بررسی آثار شرایط جریانی و هندسی اتمایزر بر مشخصات اسپری تولیدشده روی یک اتمایزر دوسیاله هوا - وزش انجام شده است. در مطالعه آزمایشگاهی قطر میانگین ساوتر قطرات توسط سامانه لیزری مالورن برای اعداد وبر در محدوده ۷۷۷ تا ۲۲۵۰، رینولدز مایع ۱۶۵۰ و برای چهار قطر تزریق مختلف اندازه‌گیری شده است. شبیه‌سازی عددی با استفاده از روش ردیابی ذرات گستته بر مبنای رهیافت اویلری - لاگرانژی انجام شده است. در شبیه‌سازی عددی به منظور مدل‌سازی شکست اولیه جت مایع از توزیع روزین راملر و برای شکست ثانویه نیز از مدل کلوین هلمهولتز - رایلی تیلور استفاده شده است. نتایج آزمایشگاهی و شبیه‌سازی نشان می‌دهد در یک وبر مشخص افزایش قطر تزریق مایع باعث کاهش می‌یابد. همچنین نتایج شبیه‌سازی نشان می‌دهد پارامترهای هندسی طول اختلاط گاز مایع و زاویه تزریق مایع تأثیر ناچیزی بر عمق نفوذ اسپری دارد؛ در حالی که قطر تزریق مایع تأثیر قابل توجهی بر این مشخصه اسپری می‌گذارد و با افزایش آن، عمق نفوذ اسپری کاهش می‌یابد.

## واژگان کلیدی

اتمایزر هوا - وزش، اوپن فوم، قطر میانگین ساوتر، عدد وبر، سامانه‌ی لیزری مالورن

## ۱. مقدمه

تبديل می‌شود. وسیله‌ای که به منظور اتمیزه کردن سیال مورد استفاده قرار می‌گیرد، اتمایزر نامیده می‌شود. فرایند اتمیزاسیون یا

اسپری یا اتمیزاسیون به اصطلاحاً فرایندی گفته می‌شود که طی آن توده سیال با عبور از یک نازل به اسپری قطرات کوچک

هوا با نرخ جریان جرمی انداز و سرعت زیاد استفاده می‌شود در حالی که در اتمایزرهای هوا - وزش جریان گاز با سرعت کمتری مورداستفاده قرار می‌گیرد [۲].

یکی از مهم‌ترین کاربردهای اتمایزرهای دوسیاله گاز - مایع مربوط به موشک‌های سوخت مایع سیکل بسته است. در موتورهای سیکل بسته گاز داغ خروجی از مولد گاز با عبور از یک توربین مورد استفاده قرار داد. در این حالت توربین امکان فشرده‌سازی گاز اکسیدکننده و همچنین با فعل کردن پمپ امکان جریان یافتن مایع را به انژکتور فراهم می‌سازد. زاویه مخروطی اسپری، قطر میانگین ساوتر<sup>۳</sup> قطرات و عمق نفوذ مشخصه‌های اصلی اسپری است که تأثیر مستقیمی بر کیفیت احتراق می‌گذارد [۳]. زاویه بین خطوط مماس به یال خارجی با محور اصلی اسپری را زاویه مخروط اسپری می‌گویند. یک اسپری بدلیل غیرهمگن بودن فرایند تجزیه و اتمیزاسیون، ترکیبی غیرهمگن از قطراتی با اندازه‌های مختلف است؛ بنابراین محاسبه قطر میانگین ساوتر و توزیع قطرات ضروری است. مشخصه عملکردی دیگری که در بررسی فرایند اسپری مورد توجه است، عمق نفوذ اسپری است. عمق نفوذ اسپری به فاصله میان نوک اسپری و اریفیس اتمایزرهای گویند. لیو و همکاران (۲۰۰۶) یک اتمایزر هوا - وزش با جریان‌های هممحور را به صورت تجربی مورد بررسی قرار داده و مشاهده کردنده که تغییرات قطر نازل مایع قطر میانگین قطرات را تغییر می‌دهد و این تغییرات با افزایش نسبت جریان جرمی مایع به گاز، بیشتر می‌شود [۴]. آنها همچنین نشان دادند که با ثابت نگهداشت نسبت شار جرمی مایع به گاز، تغییرات قطر میانگین ساوتر بر حسب عدد وبر<sup>۴</sup>، سرعت تزریق مایع و نسبت شار مومنتوم گاز به مایع، روند یکنواخت نداشته و این روند ابتدا نزولی و سپس صعودی می‌شود. سینهایا و همکاران (۲۰۱۵) یک اتمایزر هوا وزش با جریان‌های متقاطع را به صورت تجربی مطالعه کردنده و نشان دادند که عمق نفوذ اسپری وابسته به نسبت مومنتوم گاز به مایع است [۵]. این پارامتر در نسبت مومنتوم‌های بالاتر افزایش یافته و پراکنده‌گرفتن از دیواره اتمایزرهای قطر میانگین ساوتر قطرات افزایش یافته، در حالی که با حرکت در راستای جریان پرسرعت گاز این پارامتر کاهش می‌یابد.

ما و همکاران (۲۰۱۴) دو نوع اتمایزر هوا - وزش، که دارای ساختار متفاوتی در اختلاط گاز و مایع بودند، را به صورت تجربی

اسپری مایعات کاربردهای فروانی در صنایع مختلف از جمله کشاورزی، پزشکی و مهندسی دارد که یکی از مهم‌ترین کاربردهای آن پاشش سوخت در محفظه احتراق موتورهای توربین گازی و احتراق داخلی است. بازده احتراق و میزان آلیندگی مربوط به آن بهشدت تحت تأثیر اتمیزاسیون سوخت، تبخیر قطرات و اختلاط آن با هواست. دینامیک اسپری و مشخصات آن در بررسی پایداری شulle، اینمنی، بازده انرژی تولیدی و سازوکارهای ایجاد آلودگی بسیار حائز اهمیت است. امروزه درک و کنترل فرایند اسپری و احتراق آن نیازی اساسی در راستای افزایش بازده احتراق و کاهش آلیندگی‌های مربوط به آن است [۱]. اختلاف سرعت بین فاز گاز و مایع، عامل اصلی ایجاد اسپری در بیشتر اتمایزرهای است. اتمایزرهای براساس سازوکار ایجاد اختلاف سرعت به انواع مختلفی دسته‌بندی می‌شوند که از مهم‌ترین آنها می‌توان به اتمایزرهای فشاری و اتمایزرهای دوسیاله اشاره کرد. در اتمایزرهای فشاری مایع با سرعت بسیار زیاد در محیط گازی تقریباً ساکن (معمولًا هوا) نسبت به فاز مایع تخلیه می‌شود. یک روش جایگزین برای دستیابی به اختلاف سرعت بین این دو فاز، تزریق مایع با سرعت پایین در یک جریان گازی پرسرعت است. به اتمایزرهایی که از این سازوکار به منظور اسپری مایع استفاده می‌کنند، اتمایزرهای دوسیاله گفته می‌شود. در این نوع اتمایزرهای جهت پهبود کیفیت اتمیزاسیون و اختلاط مناسب سوخت و اکسنده (هوا) از یک جریان گاز پرسرعت، هممحور یا متقاطع با جریان سوخت تزریقی استفاده می‌شود. افت فشار پایین تزریق مایع، اتمیزاسیون بهتر، اسپری با قطر قطرات پایین، احتراق کامل و در نهایت آلیندگی کمتر ناشی از احتراق، از مزایای این نوع اتمایزرهاست.

اتمایزرهای دوسیاله به دو نوع هوا - کمک<sup>۱</sup> و هوا - وزش<sup>۲</sup> تقسیم‌بندی می‌شوند. در هر دو نوع این اتمایزرهای حجم مایعی که بايستی اسپری شود به حالت جت مایع با سرعت نسبتاً پایین در معرض جریان پرسرعت گاز قرار می‌گیرد. از انرژی جنبشی جریان گاز پرسرعت برای جدا کردن رباط از جت مایع و تولید قطرات ریز استفاده می‌شود. تفاوت اصلی بین اتمایزرهای هوا - وزش و هوا - کمک در میزان دبی جرمی جریان هوا می‌باشد. در نوع هوا - کمک نرخ جریان جرمی جریان هوا در مقایسه با اتمایزرهای هوا - وزش کمتر می‌باشد که این امر با افزایش سرعت جریان هوا در این اتمایزرهای جبران می‌شود. در اتمایزرهای هوا - کمک جریان

## ۲. تجهیزات آزمایشگاهی

در شکل ۱ چیدمان آزمایشگاهی مورد استفاده در این مطالعه نمایش داده شده است. این چیدمان که از سه قسمت اصلی شامل مسیر تغذیه مایع (آب)، منبع تغذیه هوای فشرده و اتمایزر تشکیل شده است. همچنین از یک دوربین پرسرعت<sup>۷</sup> با سرعت تصویربرداری ۲۵۰۰ فریم بر ثانیه و یک سامانه لیزری<sup>۸</sup> بهمنظور اندازهگیری قطر قطرات استفاده شده است. دوربین پرسرعت موردادستفاده می‌تواند تصاویر را با وضوح تصویر (رزولوشن)  $640 \times 480$  ثبت و بهصورت همزمان به یک رایانه ارسال کند. زاویه اسپری در این روش با استفاده از پردازش تصویر بهدست می‌آید. مسیر تغذیه آب از چهار المان اصلی مخزن مایع با حجم ۱/۱ متر مکعب متصل به یک شیر فیلتردار بهمنظور جلوگیری از نفوذ ناخالصی و مواد زائد بهداخل مجرای تزریق مایع اتمایزر، پمپ بیستونی باقابلیت تنظیم فشار تا ۵۰ بار و تأمین دبی ۵۰ لیتر بر دقیقه، شیر سوزنی برای کنترل دبی و درنهایت اتمایزر متصل به نگهدارنده تشکیل شده است. قسمت تأمین هوای فشرده از سه المان تشکیل شده است: مخزن تأمین هوای فشرده با حجم ۵۰ لیتر و فشار حداقل ۱۴۰ بار، شیر تنظیم فشار و اتمایزر که در انتهای مسیر است و به خط تغذیه آب متصل است. میزان دبی هوای توسط یک دبی‌سنج دیجیتال و دبی مایع توسط یک دبی‌سنج روتاری<sup>۹</sup> اندازهگیری شده است. در شکل ۲ نمای شماتیک و واقعی اتمایزر نمایش داده شده است. هوای فشرده پرسرعت از قسمت میانی اتمایزر عبور کرده و مایع نیز از طریق منفذ دایروی به جریان گاز پرسرعت تزریق می‌شوند. این منفذ تزریق پیرامون اتمایزر با زاویه قطاع  $60^\circ$  درجه نسبت به محور آن چیده شده‌اند. همان‌گونه که در شکل ۲ مشاهده می‌شود، پارامترهای هندسی اتمایزر موردنظر بررسی شامل  $\alpha$  زاویه تزریق،  $d_g = 2.15\text{ cm}$  قطر خروجی اتمایزر،  $d$  قطر منفذ تزریق مایع،  $l$  طول اختلاط گاز و مایع و  $l_i = 5\text{ cm}$  طول اتمایزر می‌باشند.

## ۳. روش شبیه‌سازی عددی

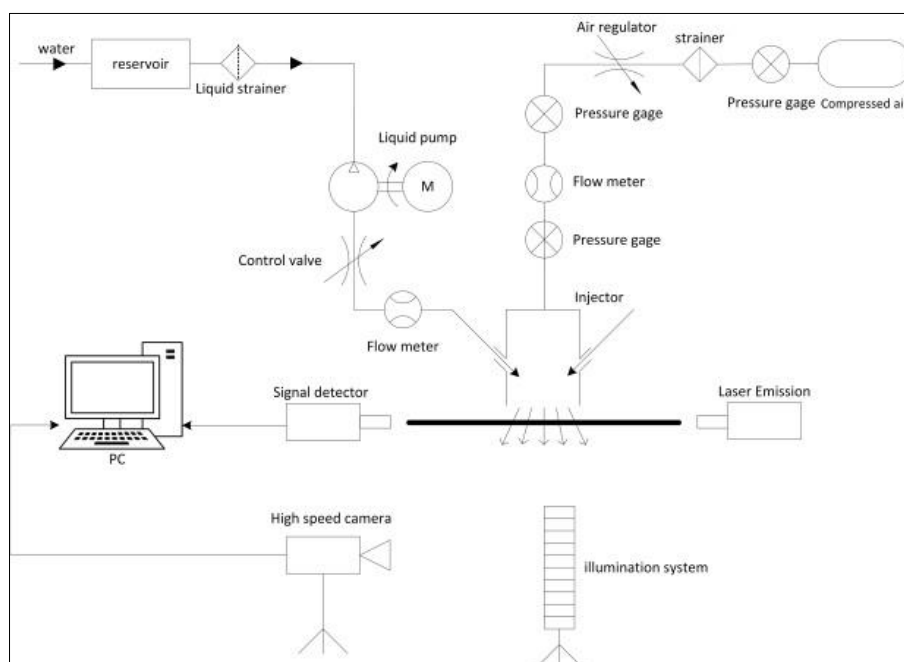
در این پژوهش برای شبیه‌سازی جریان اسپری از نرم‌افزار اوپن‌فوم استفاده شده است. برای این منظور از حلگر اسپری فوم<sup>۱۰</sup> نرم‌افزار اوپن‌فوم بهمنظور مدلسازی فرایند اسپری استفاده شده است. این حلگر قابلیت حل گذرای جریان‌های دوفازی تراکم‌پذیر آرام و آشفته را دارد. در این حلگر بهمنظور حل فاز گستته از رویکرد

مورد آزمایش قراردادند [۶]. آنها تأثیر پارامترهای فشار هوای فشار مایع و نحوه اختلاط گاز و مایع را بر زاویه اسپری و سرعت قطرات مورد بررسی قراردادند. نتایج کار آنها نشان داد زاویه اسپری بهشت به فشار جریان گاز وابسته است و در فشارهای بالای گاز، زاویه اسپری به نحوه اختلاط گاز و مایع بستگی دارد. همچنین مشاهده کردند که فشار مایع تأثیر بسیار انکه اسپری بر زاویه اسپری و سرعت قطرات می‌گذارد. با اینکه مطالعات تجربی متعددی روی اتمایزرهای انجام شده است، اما مطالعات عددی در این زمینه انکه است. هوانگ و لیپانیکوف (۲۰۱۱)، در دانشگاه چلمز، یک اتمایزر فشاری پیچشی را بهوسیله نرم‌افزار متن باز اوپن‌فوم مدلسازی کردند که قابلیت خوبی در شبیه‌سازی فرایند اسپری دارد [۷]. آنها نشان دادند که استفاده همزمان از توزیع روزین راملر برای شکست اولیه و مدل Reitz-Diwakar برای مدلسازی شکست ثانویه، بهترین نتایج را در تطبیق با داده‌های تجربی بهدست می‌دهند. آنها همچنین اصلاحاتی را روی مدل KHRT برای مدلسازی شکست ثانویه انجام دادند که به بهبود عملکرد این مدل در پیش‌بینی رفتار اتمایزر مورد مطالعه منجر شد. امروزه بررسی عددی و مدلسازی به جای آزمون آزمایشگاهی اتمایزرهای در جهت کاهش هزینه و زمان مورد توجه قرار گرفته است. از طرف دیگر، برای رسیدن به مدلسازی قابل اعتماد و بهره‌گیری از حلگرهای مناسب در شبیه‌سازی، مقایسه با نتایج تجربی ضروری بهنظر می‌رسد.

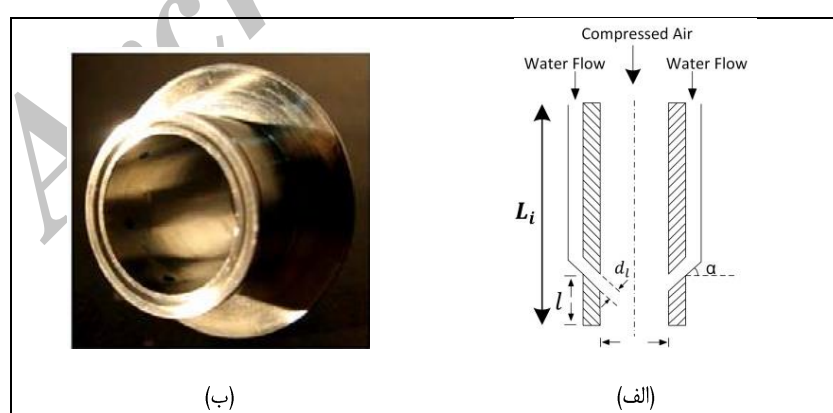
در این مقاله ابتدا یک اتمایزر دوسياله هوا - وزش با استفاده از سیستم اندازه‌گیری لیزری مالورن<sup>۵</sup> مورد آزمایش قرار گرفته است. از طرفی، اتمایزر با استفاده از نرم‌افزار متن باز اوپن‌فوم<sup>۶</sup> مدلسازی شده و در پایان نتایج آزمایش اتمایزر با خروجی‌های مدلسازی مقایسه شده‌اند. در شبیه‌سازی اتمایزرهای، با توجه به پیچیدگی اسپری‌ها، تفاوت اتمایزرهای از نظر روش تولید اسپری و فشارهای تزریق متفاوت حلگری کامل و جامعی وجود ندارد. بهمنظور تعیین ثابت‌های اصلی معادلات شبیه‌سازی خاص یک اتمایزر و سنجش توانایی روش‌های موجود، باید از ترکیب آزمایش تجربی و مدلسازی استفاده کرد. در این مقاله ترکیب روش تجربی و شبیه‌سازی به این منظور استفاده شده است. در گذشته فانگ و همکاران (۲۰۱۲) نیز بهمنظور نهایی کردن شبیه‌سازی عددی اسپری اتمایزرهای فشار پایین و بهدست آورند ثابت‌های مدل شکست از این روش استفاده کردند [۸].

چشمی موجود در معادلات حاکم بر فاز پیوسته لحاظ می‌کند و سپس با حل فاز پیوسته می‌توان از این میدان برای تعیین مسیر حرکت قطرات در گام زمانی آینده استفاده کرد. فرض اساسی در این رویکرد این است که فاز گستته کسر حجمی پایین‌تری را در مقایسه با فاز پیوسته اشغال می‌کند [۹]. این خصیصه سبب می‌شود این روش برای مدل‌کردن فرایندهایی مثل خشککن پاششی و اسپری سوخت مایع مورداستفاده قرار گیرد.

لاگرانژی، و برای فاز پیوسته از رویکرد اویلری استفاده می‌شود. بهطور متدال از دو رویکرد اویلری - لاگرانژی و اویلری - اویلری برای رسیدن به محاسبات عددی در جریان‌های دوفازی استفاده می‌شود. در رویکرد لاگرانژی - اویلری، فاز پیوسته گاز با حل معادلات ناویر استوکس با میانگین زمانی و فاز گستته مایع، توسط رهگیری قطرات حل می‌شود. در این حالت، فاز گستته تأثیر خود را از طریق تبادل مومنتوم، جرم و انرژی در جملات



شکل ۱. چیدمان آزمایشگاهی مورداستفاده



شکل ۲. اتمایزر مورد مطالعه، (الف) شماتیک داخل اتمایزر، (ب) نمای واقعی

$$\frac{\partial \rho_g}{\partial t} + \frac{\partial}{\partial x_j} (\rho_g u_j) = S_{ev} \quad (1)$$

$$\frac{\partial}{\partial t} (\rho_g u_i) + \frac{\partial}{\partial x_j} (\rho_g u_j u_i + p \delta_{ij} - \tau_{ij}) = S_{mo} \quad (2)$$

### ۳-۱. معادلات حاکم بر فاز گاز

معادلات حاکم بر فاز گاز به عنوان یک سیال پیوسته تراکم پذیر، با استفاده از متغیرهای تانسوری، روابط ۱ تا ۳ می‌باشند.

چشممه در معادلات ۱ تا ۳ استفاده می‌شود [۱]. ترم‌های چشممه،  $S_{ev}$ ،  $S_{he}$  و  $S_{mo}$  که در معادلات فاز پیوسته بیان شدن با استفاده از نرخ تغییر جرم، مومنتوم و انرژی ذرات لاگرانژی قابل محاسبه‌اند. همان‌گونه که در روابط ۷ تا ۹ بیان شده است این تغییرات با استفاده ازتابع توزیع قطرات (f) به دست می‌آیند.

$$S_{ev} = - \int f \rho_l 4\pi r^2 \frac{\partial r}{\partial t} d\mathbf{u}_d dr dt dy dy \quad (7)$$

$$S_{mo} = - \int f \rho_l \left[ \frac{4}{3} \pi r^3 \left( \frac{\partial u}{\partial t} - \mathbf{g} \right) + 4\pi r^2 \frac{\partial r}{\partial t} \mathbf{u}_d \right] d\mathbf{u}_d dr dt dy dy \quad (8)$$

$$S_{he} = - \int f \rho_l \times \left\{ 4\pi r^2 \left[ I_1 + \frac{1}{2} (\mathbf{u}_d - \mathbf{u}_g)^2 \right] + \left[ \frac{4}{3} \pi r^3 \left[ c_1 \frac{\partial T}{\partial t} + \left( \frac{\partial \mathbf{u}_d}{\partial t} - \mathbf{g} \right) \cdot (\mathbf{u}_d - \mathbf{u}_g - \mathbf{u}'_g) \right] \right] \right\} d\mathbf{u}_d dr dt dy dy \quad (9)$$

در این روابط  $\mathbf{g}$  بردار شتاب گرانش،  $I_1$  انرژی داخلی،  $c_1$  گرمای ویژه و  $\mathbf{u}'_g$  نوسانات سرعت در فاز گاز است [۱].

**۳-۲-۱. ردیابی ذرات مایع در محیط پیوسته**  
بهمنظر مسیریابی ذرات تخلیه شده در محیط پیوسته باید رابطه سرعت ذرات را به وسیله معادله ممتنم تعیین نمود. نیروهایی که به یک قطره مایع در محیط گازی وارد می‌شوند عبارت اند از: نیروی پسا، گرانش، فشاری و سایر نیروهای حجمی مانند نیروی الکترومغناطیسی. چون مقدار نیروی پسا وارد بر قطره به مرابط بزرگتر از سایر نیروهای است، می‌توان از سه نیروی گرانش، فشاری و سایر نیروهای حجمی در مقایسه با نیروی پسا صرف نظر کرد. در این صورت رابطه ممتنم برای یک قطره به صورت ۱۰ است [۱۱].

$$m_d \frac{d\mathbf{u}_d}{dt} = \mathbf{F}_d \quad (10)$$

بهطوری که در این رابطه  $\mathbf{F}_d$  نیروی پسا وارد بر قطره است و از رابطه ۱۱ محاسبه می‌شود.

$$\mathbf{F}_d = \pi r^2 C_D \frac{\rho_g u_{rel} (\mathbf{u}_d - \mathbf{u}_g)}{2} \quad (11)$$

در رابطه ۱۱ سرعت قطره و گاز نسبت به یکدیگر و ضریب پساست. در مدل شکست تشابه‌ی تیلور مقدار ضریب پسا برای یک ذره با شکل کروی از رابطه ۱۲ محاسبه می‌شود.

$$\frac{\partial}{\partial t} (\rho_g e) + \frac{\partial}{\partial x_j} \left[ (\rho_g e + p) u_j - \lambda \frac{\partial T}{\partial x_j} - u_i \tau_{ij} \right] = S_{he} \quad (3)$$

در رابطه ۱  $S_{ev}$  ترم چشممه ناشی از تبخیر سوت مایع، در رابطه ۲  $S_{mo}$  ترم چشممه ناشی از اندرکنش فاز گاز و سیال و در رابطه ۳  $S_{he}$  ترم چشممه ناشی از انتقال حرارت بین دو فاز گاز و مایع است [۱]. در پژوهش حاضر به منظور مدلسازی جریان مغشوش از مدل آشفتگی k-ε استاندارد استفاده شده است که فرم کلی معادلات در این مدل به صورت زیر می‌باشد. ضرایب اصلی مدل k-ε استاندارد در جدول ۱ آمده است [۱۰].

$$\frac{\partial}{\partial t} (\rho_s k) + \frac{\partial}{\partial x_i} (\rho_s k u_i) = \frac{\partial}{\partial x_j} \left[ \left( \mu + \frac{\mu_t}{\sigma_k} \right) \frac{\partial k}{\partial x_j} \right] + P_k - \rho_s \varepsilon \quad (4)$$

$$\begin{aligned} \frac{\partial}{\partial t} (\rho_s \varepsilon) + \frac{\partial}{\partial x_i} (\rho_s \varepsilon u_i) &= \frac{\partial}{\partial x_j} \left[ \left( \mu + \frac{\mu_t}{\sigma_\varepsilon} \right) \frac{\partial \varepsilon}{\partial x_j} \right] + \\ &C_{1\varepsilon} \frac{\varepsilon}{k} P_k - C_{2\varepsilon} \rho_s \frac{\varepsilon^2}{k} \end{aligned} \quad (5)$$

جدول ۱. ثوابت مدل اغتشاشی k-ε استاندارد

$C_\mu$	$\sigma_\varepsilon$	$\sigma_k$	$C_{\varepsilon 1}$	$C_{\varepsilon 2}$
۰/۰۹	۱/۳	۱	۱/۳۵	۱/۸

### ۳-۲. معادلات حاکم بر فاز مایع

در این مقاله فاز مایع از دیدگاه لاگرانژی بررسی و فرض می‌شود که این فاز به صورت ذرات کروی شکل در محیط پیوسته تخلیه شود. بهمین علت استفاده از یک رهیافت آماری جهت پیش‌بینی توزیع قطرات مناسب به نظر می‌رسد. توزیع قطرات با تابع چگالی احتمال  $f(x, \mathbf{u}_d, t, r, T, y, \dot{y}) dx du_d dr dt dy dy$  بیان می‌شود. این تابع، تعداد احتمالی قطرات بر واحد حجم است که متغیرهای آن سرعت قطره، موقعیت مکانی و زمانی، شعاع قطره، دمای قطره و جابه‌جایی خط استوا قطره نسبت به حالت تعادل می‌باشد. معادله بقایی تابع احتمال  $f$  به صورت ۶ است.

$$\begin{aligned} \frac{\partial f}{\partial t} + \nabla_x \cdot (f \mathbf{u}_d) + \nabla_y \cdot (f \frac{\partial \mathbf{u}_d}{\partial t}) + \frac{\partial}{\partial r} (f \frac{\partial r}{\partial t}) \\ + \frac{\partial}{\partial T} (f \frac{\partial T}{\partial t}) + \frac{\partial}{\partial y} (f \frac{\partial y}{\partial t}) + \\ \frac{\partial}{\partial \dot{y}} (f \frac{\partial \dot{y}}{\partial t}) = \dot{f}_{br} + \dot{f}_{co} \end{aligned} \quad (6)$$

در سمت راست رابطه ۶ دو عبارت چشممه  $f_{br}$  و  $f_{co}$  وجود دارد که به ترتیب بیان کننده سهم برخورد قطرات و شکست آنها در تعداد قطرات است. از تابع احتمال  $f$  برای به دست آوردن ترم‌های

اندازه قطرات توابع متعددی معرفی شده که در این مقاله با توجه به نوع اتمایزه و شکل اسپری آن از توزیع استاندارد رزین - راملر استفاده شده است. توابع توزیع استاندارد رزین - راملر در روابط ۱۶ و ۱۷ ارائه شده است [۱۱].

$$F(D) = 1 - \exp \left[ -\left( \frac{D}{d} \right)^n \right] \quad (16)$$

$$f(D) = -\frac{n}{D} \left( \frac{D}{d} \right)^n \exp \left[ -\left( \frac{D}{d} \right)^n \right] \quad (17)$$

رابطه ۱۶ یک تابع توزیع تجمعی<sup>۱۲</sup> و رابطه ۱۷ یک تابع چگالی احتمال است که با دیفرانسیل‌گیری از رابطه ۱۶ به دست می‌آید. تابع ۱۷ دو پارامتر ورودی  $n$  و  $d$  دارد. پارامتر  $n$  میزان پراکندگی در اندازه قطرات را بیان می‌کند. با افزایش  $n$  یکنواختی توزیع اندازه قطرات افزایش یافته و از پراکندگی آن کاسته می‌شود. پارامتر  $d$  اندازه متوسط قطرات توزیع شده است. قطرات حاصل از شکست اولیه نیز همانند توده سیال خارج شده از نازل بر اثر نیروهای ائرودینامیکی دچار تغییر شکل شده و در نهایت متلاشی می‌شوند. به شکست قطرات بزرگتر (قطرات والد) و تبدیل آنها به قطرات کوچکتر، شکست ثانویه گفته می‌شود. بهمنظور مدلسازی شکست ثانویه مدل‌هایی ارائه شده است که مدل کلوین هلمهولتز - رایلی تیلور<sup>۱۳</sup> و مدل تشابهی تیلور<sup>۱۴</sup> در پژوهش‌های اخیر کاربرد گسترده‌تری نسبت به سایر مدل‌ها داشته‌اند که در این مقاله از مدل KHRT استفاده می‌شود [۱۱، ۱۲].

**۱-۲-۲-۳. مدل کلوین هلمهولتز - رایلی تیلور**  
در مدل شکست KHRT، ایجاد دو ناپایداری کلوین - هلمهولتز و رایلی - تیلور به طور همزمان در سطح قطره موجب شکست آن می‌شود. ناپایداری کلوین هلمهولتز به دلیل حرکت نسبی مماسی در سطح مشترک دو فاز به وجود می‌آید، در حالی که ناپایداری رایلی - تیلور به علت ایجاد بردار شتابی عمود بر سطح مشترک دو فاز است. در زیر مدل کلوین هلمهولتز فرض می‌شود اندازه قطرات کوچکی که از قطره بزرگتر (والد) جدا می‌شوند از رابطه ۱۸ به دست آید.

$$r_{KH} = B_0 \Lambda_{KH} \quad (18)$$

نرخ کاهش شعاع قطرات اولیه از رابطه ۱۹ به دست می‌آید.

$$\frac{dr}{dt} = -\frac{r - r_{KH}}{\tau_{KH}} \quad (19)$$

$$C_{D,sphere} = \begin{cases} \frac{24}{Re_d} \left( 1 + \frac{1}{6} \right) Re_d^{2/3} & , Re_d < 1000 \\ 0.424 & , Re_d > 1000 \end{cases} \quad (12)$$

به طوری که در آن  $Re_d$  عدد رینولدز مربوط به قطره است و از رابطه ۱۳ محاسبه می‌شود.

$$Re_d = \frac{2\rho_g r u_{rel}}{\mu_g} \quad (13)$$

رابطه ۱۲ مقدار ضریب پسا برای یک قطره کروی را نتیجه می‌دهد، اما یک قطره در یک میدان گازی تحت تأثیر نیروهای مختلف تغییر شکل داده و لازم است ضریب پسا براساس تغییر شکل قطره محاسبه شود. در حالت کلی ضریب پسا برای یک ذره با در نظر گرفتن تغییر شکل آن از رابطه ۱۴ به دست می‌آید.

$$C_D = C_{D,sphere} (1 + 2.632y) \quad (14)$$

به طوری که در این رابطه  $y$  میزان جایه‌جایی خط استوا قطره نسبت به حالت تعادل آن است. از معادله ۱۰ می‌توان سرعت ذره را تعیین نمود و با استفاده از رابطه ۱۵ و انتگرال‌گیری نسبت به زمان، مکان ذره در زمان دلخواه تعیین می‌شود.

$$\mathbf{u}_d = \frac{d\mathbf{x}_d}{dt} \quad (15)$$

### ۲-۲-۳. مدلسازی شکست اولیه و ثانویه

توده مایع پس از خروج از نازل، به علت نیروهای ائرودینامیکی ناشی از اختلاف سرعت بین دو فاز گاز و مایع دچار ناپایداری می‌شود. رشد امواج روی سطح مایع سبب جداسدن اولین قطرات از سطح مایع می‌شود که به این فرایند شکست اولیه می‌گویند. نتایج تحقیقات گرگوری و همکاران نشان می‌دهد که در یک اتمایزه فشاری با افزایش فشار تزریق مایع (درنتیجه افزایش سرعت نسبی بین دو فاز گاز و مایع) طول توده مایع قبل از شکست اولیه کاهش می‌یابد، به طوری که در فشار ۱۹ تا ۳۲ مگاپاسکال (سرعت خروج مایع ۱۹۴ تا ۴۰۰ متر بر ثانیه) ابزاری آب با چگالی ۱۰۰۰ کیلوگرم بر متر مکعب) ابعاد توده مایع قبل از شکست اولیه بسیار ناچیز است [۱۲]. چون در اتمایزه مورد مطالعه در این مقاله سرعت نسبی گاز و مایع بسیار زیاد بوده (در محدوده ۱۵۰ تا ۴۰۰ متر بر ثانیه)، از طرفی چون برای مدلسازی فاز مایع از دیدگاه لاغرانژی استفاده می‌شود، فرض می‌شود که مایع، نازل را به صورت قطرات مجزا ترک می‌کند؛ بنابراین لازم است شرایط اولیه برای قطرات اسپری از جمله سرعت، زاویه خروج از نازل و همچنین توزیع اندازه قطرات تعیین شود. بهمنظور تعیین توزیع

امواج رایلی تیلور تنها وقتی منجر به شکست قطره می‌شوند که امواج با سریع‌ترین نرخ رشد طول موجی کمتر از قطر قطره داشته باشند.

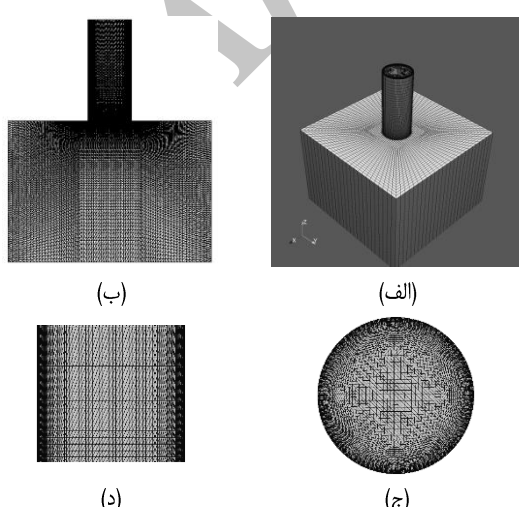
$$2r > \Lambda_{RT} = \frac{2\pi C_{RT}}{K_{RT}} \quad (29)$$

$$\tau_{RT} = \frac{C_r}{\Omega_{RT}} \quad (30)$$

رشد امواج رایلی تیلور پس از مدت زمان مشخصه منجر به شکست قطره می‌شود. در روابط اخیر  $C_r = 1$  و  $C_{RT} = 0.1$  است.

### ۳. شبکه محاسباتی و شرایط مرزی

هندسه میدان محاسباتی به همراه شبکه‌بندی آن در مقاطع مختلف، که در نرمافزار اوپن فوم ایجاد شده، در شکل ۳ نمایش داده شده است. هوای پرسرعت از قسمت میانی اتمایزر جریان می‌یابد و مایع آب نیز از شش منفذ پیرامون آن در جریان گاز پرسرعت تزریق می‌شود. به منظور مدلسازی اتمسفر بیرون از اتمایزر فرض شده است که یک کانال به طول  $L$  و عرض  $H$  به خروجی اتمایزر متصل شده باشد. برای اطمینان از مناسبی‌بودن مکان شرط مرزی دیواره در کanal و عدم تأثیر آن بر جریان خروجی از اتمایزر، مقدار  $H$  به اندازه ۳، ۵ و ۱۰ برابر قطر هیدرولیکی خروجی اتمایزر انتخاب شد و با بررسی نتایج خروجی مشاهده شد که میدان سرعت با تغییر  $H$  از مقدار ۵ به ۱۰ برابر قطر هیدرولیکی خروجی اتمایزر بدون تغییر باقی می‌ماند؛ بنابراین مقدار  $H$  برابر با  $d_g$  و مقدار  $L$  نیز برابر با ۷ سانتی‌متر انتخاب شده است.



شکل ۳. نمایی از (الف) نمای سه‌بعدی شبکه محاسباتی (ب) نمای دو‌بعدی شبکه محاسباتی، (ج) و (د) سطح مقطع داخل اتمایزر

$$\tau_{KH} = \frac{3.788B_1 r}{\Omega_{KH} \Lambda_{KH}}$$

به طوری که در روابط اخیر،  $B_0 = 0.61$  و  $B_1 = 40$  ثابت مدل هستند. همچنین  $\Lambda_{KH}$  طول موج رشدکننده (روی سطح قطره) با سریع‌ترین نرخ رشد و  $\Omega_{KH}$  فرکانس مربوط به این موج می‌باشد.

$$\Lambda_{KH} = 9.02r \frac{(1+0.45Z^{0.5})(1+0.4Ta^{0.7})}{(1+0.87We_g^{1.67})^{0.6}} \quad (20)$$

$$\Omega_{KH} = \frac{0.34 + 0.38We_g^{1.5}}{(1+Z)(1+1.4Ta^{0.6})} \sqrt{\frac{\sigma}{\rho_l r^3}} \quad (21)$$

که اعداد بدون بعد تیلور<sup>۱۵</sup>، وبر، اونسورگ<sup>۱۶</sup> و همچنین عدد رینولدز آب با استفاده از روابط ۲۲ تا ۲۵ تعریف می‌شوند.

$$Ta = Z \sqrt{We_g} \quad (22)$$

$$Z = \frac{\sqrt{We_l}}{\text{Re}_l} \quad (23)$$

$$We_g = \frac{\rho_g (u_g - u_l)^2 d_l}{\sigma} \quad (24)$$

$$We_l = \frac{\rho_l (u_g - u_l)^2 d_l}{\sigma} \quad (25)$$

زیر مدل رایلی تیلور نیز مانند زیر مدل کلوین هلمهولتز براساس انتشار امواج ناپایدار روی سطح قطره تعریف می‌شود. عدد موج مربوط به سریع‌ترین امواج ناپایدار کننده رایلی تیلور از رابطه ۲۶ و فرکانس مربوط به آن از رابطه ۲۷ به دست می‌آید.

$$K_{RT} = \sqrt{\frac{-a(\rho_l - \rho_g)}{3\sigma}} \quad (26)$$

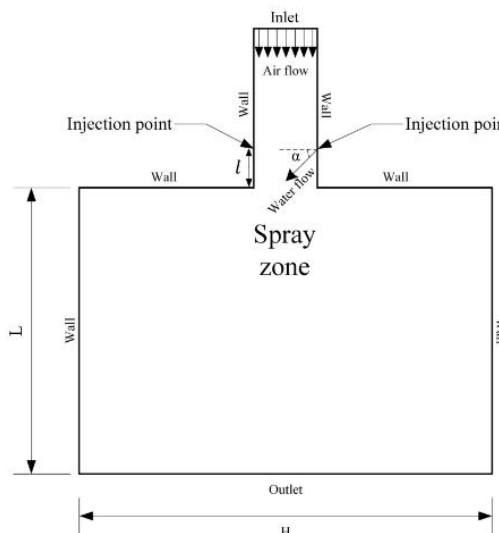
$$\Omega_{RT} = \sqrt{\frac{2}{3\sqrt{3}\sigma} \frac{[-a(\rho_l - \rho_g)]^{1/2}}{\rho_l + \rho_g}} \quad (27)$$

در رابطه  $a$ ، شتاب سطح مشترک دو فاز است. جهت این شتاب از ناحیه سیال سبک‌تر به سمت سیال سنگین‌تر است. به منظور ایجاد ناپایداری در سطح مشترک دو فاز لازم است شتاب سطح مشترک منفی باشد. شتاب سطح مشترک دو فاز را با استفاده از نیروی پسا وارد بر قطره می‌توان از رابطه ۲۸ محاسبه کرد.

$$a = -\frac{3}{8} C_D \frac{\rho_g u_{rel}^2}{\rho_l r} \quad (28)$$

گرفته شده است. نتایج SMD نشان داد که حل عددی در شبکه محاسباتی با تعداد سلول ۴۰۶۲۵۰ مستقل از شبکه‌بندی بوده و این تعداد مبنای شبیه‌سازی قرار می‌گیرد. شبکه محاسباتی و هندسه استفاده شده در این مقاله هر دو با استفاده از ابزار blockMesh در بسته نرم‌افزاری OpenFOAM ایجاد شده است. برای ایجاد شبکه محاسباتی با کیفیت مناسب و بهینه، همچنین افزایش قابلیت کنترل اندازه سلول‌ها در نواحی مشخص، هندسه داخل اتمایزر و کانال خارجی متصل به آن هر کدام توسط ۵ بلوک ایجاد شده است که در شکل ۵ مشاهده می‌شود. همچنین تعداد سلول‌ها در هر بلوک براساس شماره آن در جدول ۵ آمده است.

در شکل ۴ نمای دوبعدی از میدان محاسباتی به همراه نام هر یک از مرزها نمایش داده شده است. شرط مرزی مربوط به هر یک از مرزها در نرم‌افزار OpenFOAM انتخاب شده و مهم‌ترین آنها در جداول ۲ تا ۴ ذکر شده است. چون در شبیه‌سازی عددی، حل مسئله مورد نظر می‌تواند به تعداد سلول محاسباتی وابسته باشد و از طرفی با افزایش تعداد سلول دقت حل و نیز زمان محاسبات افزایش می‌یابد، لازم است تعداد سلول بهینه انتخاب شود که به ازای تعداد سلول‌های بیشتر از آن دقت حل تغییر قابل توجهی نمی‌کند. پارامتر قطر SMD در فاصله ۵ سانتی‌متر از خروجی اتمایزر به عنوان معیار سنجش استقلال حل از شبکه در نظر



شکل ۴. نمای دوبعدی میدان محاسباتی

جدول ۲. شرایط مرزی در مرز Inlet

Fixed Value	$u$
Zero Gradient	$P$
Fixed Value	$T$
Turbulent Intensity Kinetic Energy Inlet	$K$
Turbulent Mixing Length Dissipation Rate Inlet	$\varepsilon$

جدول ۳. شرایط مرزی در مرز Outlet

Zero Gradient	$u$
Fixed Value	$P$
Zero Gradient	$T$
Zero Gradient	$K$
Zero Gradient	$\varepsilon$

جدول ۴. شرایط مرزی در مرز Wall

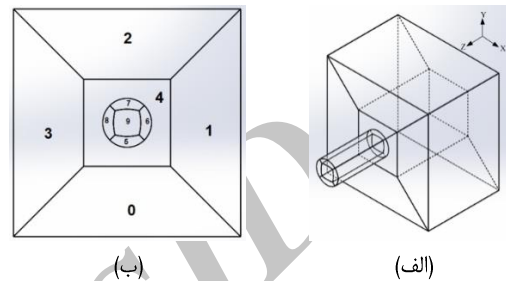
Fixed Value	$u$
Zero Gradient	$P$
Zero Gradient	$T$
Compressible: $kq$ Wall Function	$K$
Compressible: epsilon Wall Function	$\varepsilon$

قطر تزریق مایع بر روی SMD در اعداد ویر مختلف مورد بررسی قرار می‌گیرد (جدول ۶). گفتنی است چون مقدار SMD در بررسی آزمایشگاهی اتمایزرهای در فاصله ۵ سانتی‌متر از خروجی آن اندازه‌گیری شده است، در شبیه‌سازی عددی نیز قطر میانگین ساوتر قطرات در صفحه‌ای به ضخامت ۱ میلی‌متر و در فاصله ۵ سانتی‌متر از خروجی اتمایزرهای محاسبه شده است. اتمایزرهایی که در این مرحله شبیه‌سازی می‌شوند دارای طول اختلاط  $l = 8\text{ mm}$  و زاویه تزریق  $\alpha = 53^\circ$  می‌باشند. تمام پارامترهای ذکر شده در جدول ۷ به غیر از عدد ویر اثرودبینامیکی، که تعریف آن در رابطه ۲۴ بیان شد، به عنوان ورودی در فرایند شبیه‌سازی به حلگر معروفی می‌شوند.

جدول ۶. مشخصات مشترک اتمایزرهای شبیه‌سازی شده

۳۰۲	دما آب (کلوین)
۲۹۸	دما گاز (کلوین)
۱/۱۸۴	چگالی گاز (کیلوگرم بر متر مکعب)
۱۰۰۰	چگالی آب (کیلوگرم بر متر مکعب)
۰/۰۷۱۲	کشن سطحی (نیوتن بر متر)
۰/۰۰۵	زمان کل (ثانیه)
۱۶۵۰	رینولز آب

همان‌طور که در جدول ۷ مشاهده می‌شود، پارامتر  $h$  مربوط به تابع رزین راملر برای شرایط مختلف جریانی و هندسی یکسان نیست و با توجه به مقادیر SMD ثبت شده در آزمایشگاه و مقایسه آن با نتایج شبیه‌سازی مقدار بهینه  $h$  برای هر اتمایزرهای داشت آمد است. نتایج ارائمشده در جدول ۷ نشان می‌دهد با افزایش ویر در یک قطر تزریق ثابت پارامتر  $h$  با شب تقریباً ثابتی کاهش می‌یابد و همین روند برای کاهش قطر تزریق در یک ویر ثابت مشاهده می‌شود. تابع رزین راملر به منظور اعمال شرایط قطرات حاصل از



شکل ۵. (الف) نمای سه‌بعدی تقسیم‌بندی هندسه میدان محاسباتی  
ب) تقسیم‌بندی هندسه میدان محاسباتی به همراه شماره هر قسمت

جدول ۵. تعداد سلول‌های محاسباتی در هر بلوک

شماره بلوک	$(N_x \times N_y \times N_z)$ (تعداد در هر بلوک)
۴، ۳، ۲، ۱، ۰	۵۰۰۰۰ (۲۵×۲۵×۸۰)
۹، ۸، ۷، ۶، ۵	۳۱۲۵۰ (۲۵×۲۵×۵۰)

#### ۶. بحث و بررسی نتایج

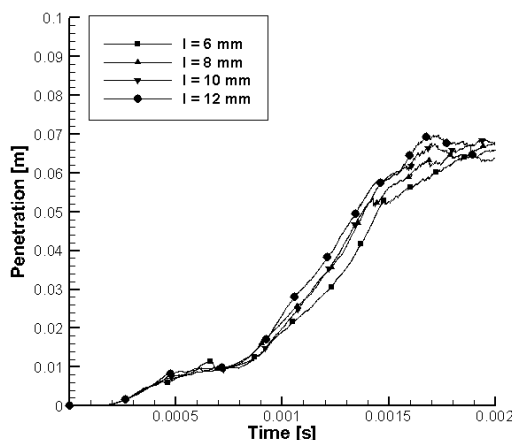
معادلات حاکم بر جریان اسپری شامل معادلات فاز پیوسته، فاز گسسته و مدل‌سازی شکست قطرات توسط نرم‌افزار اوینفوم حل شده است. پارامترهای اثرگذار بر مشخصات اساسی اتمایزرهای داشت آنها، عمق نفوذ و زاویه مخروطی را می‌توان به دو گروه پارامترهای هندسی و جریانی تقسیم کرد. مهم‌ترین پارامتر جریانی که در این مقاله مورد بررسی قرار می‌گیرد عدد ویر جریان گاز است. پارامترهای هندسی نیز شامل قطر تزریق مایع، زاویه تزریق و طول اختلاط گاز و مایع می‌باشند. با توجه به اینکه شرایط آزمایشگاهی در حالت سرد و غیرتبخیری است، در شبیه‌سازی اتمایزرهای داشت آنها لحاظ شده و از اثر تبخیر اسپری (که معمولاً به علت دمای بسیار زیاد محفظه احتراق رخ می‌دهد) صرف‌نظر شده است. مشخصات مشترک شرایط مختلف شبیه‌سازی شده، شامل مشخصات هندسی و جریانی با توجه به شرایط آزمایشگاهی در جدول ۶ ارائه شده است. در مرحله نخست تأثیر پارامتر هندسی

اندازه قطرات اسپری و در نتیجه افزایش نیروی پسا وارد بر سطح قطرات می شود. افزایش نیروی پسا می تواند توجیه کننده کاهش عمق نفوذ اسپری درنتیجه افزایش قطر تزریق مایع باشد. گفتنی است عمق نفوذ اسپری در هر مقطع زمانی بنا بر تعریف ارائه شده در بسته نرمافزاری اوپن فوم برابر است با میزان پیشروی جبهه قسمتی از اسپری که شامل ۹۵ درصد از جرم کل تزریق شده باشد. در شکل ۱۰ نتایج حاصل از شبیه سازی و عمق نفوذ اسپری شماره ۱ در دو مقطع زمانی ۲ و ۵ میلی ثانیه نمایش داده شده است.

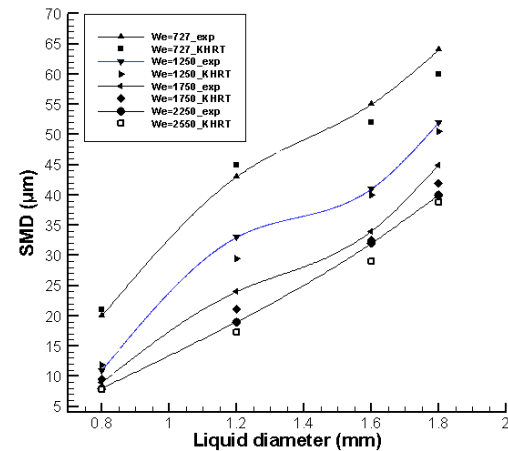
## ۵. جمع بندی

در این مقاله مطالعه ای تجربی به همراه مدل سازی عددی برای بررسی تأثیر پارامترهای جribانی و هندسی بر قطر میانگین ساوتر و عمق نفوذ اسپری، به عنوان دو مشخصه مهم اتمایزرهای دوسیاله انجام شد. در مطالعه آزمایشگاهی قطر میانگین قطرات توسط سامانه لیزری Malvern Master Sizer X با اندازه گیری و با نتایج حاصل از شبیه سازی عددی توسط نرم افزار مت بن باز اوپن فوم مقایسه شد. در شبیه سازی عددی نیز مشاهده شد که استفاده از ترکیب تابع توزیع روزین راملر برای شبکت اولیه و مدل شبکت ثانویه کلوین هلمهولتز - رایلی تیلور، به نتایج با خطای کمتر از ۱۰ درصد نسبت به نتایج آزمایشگاهی منجر می شود. نتایج آزمایشگاهی نشان می دهد که افزایش قطر تزریق در یک وبر ثابت سبب افزایش قطر میانگین ساوتر قطرات SMD می شود. با افزایش عدد وبر تأثیر پارامتر قطر تزریق بر کاهش می باید و در یک قطر تزریق ثابت افزایش عدد وبر باعث کاهش قطر میانگین ساوتر قطرات می گردد. با مقایسه نتایج آزمایشگاهی و نتایج شبیه سازی پارامترهای تابع توزیع روزین راملر برای شرایط هندسی و جribانی مختلف به دست آمد. تأثیر پارامترهای هندسی مثل طول اختلاط، زاویه تزریق و قطر تزریق مایع بر مشخصه عمق نفوذ، در یک اتمایزرهای مشخص به وسیله شبیه سازی عددی بررسی شد. نتایج شبیه سازی نشان می دهد پارامترهای طول اختلاط گاز و مایع و زاویه تزریق تأثیر بسیار ناچیز و پارامتر قطر تزریق تأثیر قابل توجهی بر عمق نفوذ اسپری دارند.

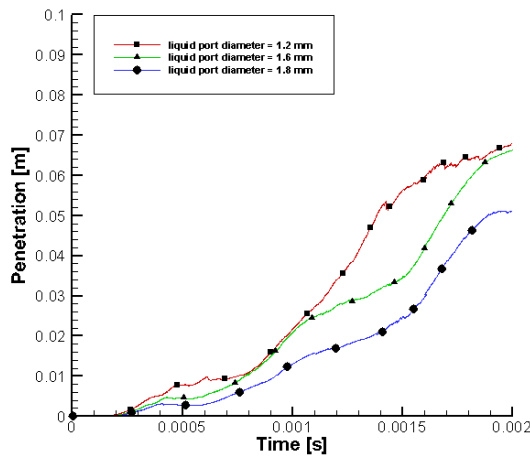
شکست اولیه در شبیه سازی به کار می رود. از طرفی بدیهی است که با تغییر شرایط جribانی و هندسی اتمایزرهای شکست اولیه مایع تزریق شده نیز دستخوش تغییرات شده و قطر متوسط قطرات حاصل از شکست اولیه (d) تغییر کند. درنتیجه لازم است برای شرایط مختلف مقدار مناسب برای پارامتر d در نظر گرفته شود که این امر با مقایسه نتایج آزمایشگاهی و شبیه سازی تحقق یافته است. نمودار شکل ۶ نتایج حاصل از شبیه سازی اتمایزرهای شماره ۱ تا ۱۶ (جدول ۷) و نتایج آزمایشگاهی را در خصوص تأثیر پارامتر هندسی قطر تزریق مایع بر روی SMD نشان می دهد. با توجه به شکل ۵، نتایج شبیه سازی و آزمایشگاهی نشان می دهد که کاهش قطر تزریق مایع کاهش SMD و در نتیجه افزایش کیفیت اسپری را دربی دارد. همچنین در یک قطر تزریق مشخص با افزایش عدد وبر قطر میانگین قطرات کاهش می باید. با توجه به نمودار می توان گفت با افزایش عدد وبر، نمودارها به یکدیگر نزدیک شده و تأثیر این پارامتر روی SMD کاهش می باید. این نتایج با آثار فیزیکی ناشی از افزایش عدد وبر قابل پیش بینی بود. با افزایش عدد وبر، قطر قطرات کاهش یافته و در نتیجه سطح اثر نیروی پسا روی قطرات کاهش می باید. به همین دلیل با افزایش هرچه بیشتر عدد وبر تأثیر روی SMD کاهش می شوند. همان طور که مقادیر خطای شبیه سازی در جدول ۸ نشان می دهد این نتایج با مقادیر ثبت شده در آزمون تطابق بسیار خوبی دارد. عمق نفوذ اسپری مشخصه اساسی دیگری است که در بررسی عملکرد اتمایزرهای بسیار حائز اهمیت است. با توجه به تعیین مدل شبکت اولیه (توزیع رزین راملر) و ثانویه برای اتمایزرهای جدول ۶ اکنون به وسیله شبیه سازی عددی تأثیر پارامترهای هندسی اتمایزرهایی ۹ جهت بررسی اسپری مورد بررسی قرار می گیرد. اتمایزرهای شماره ۹ پارامترهای مختلف بر عمق نفوذ اسپری انتخاب شده است. طول اختلاط گاز و مایع، قطر تزریق و زاویه تزریق پارامترهایی هستند که بررسی تأثیر آنها بر عمق نفوذ اسپری مورد اهمیت است. نمودارهای ۷ و ۸ نیز نشان می دهند که تأثیر زاویه تزریق و طول اختلاط بسیار ناچیز است، در حالی که با توجه به نمودار ۹ پارامتر قطر تزریق مایع تأثیر قابل توجهی بر عمق نفوذ اسپری می گذارد. با توجه به نمودار ۹ می توان گفت با افزایش قطر تزریق، عمق نفوذ اسپری کاهش می باید. افزایش قطر تزریق منجر به افزایش



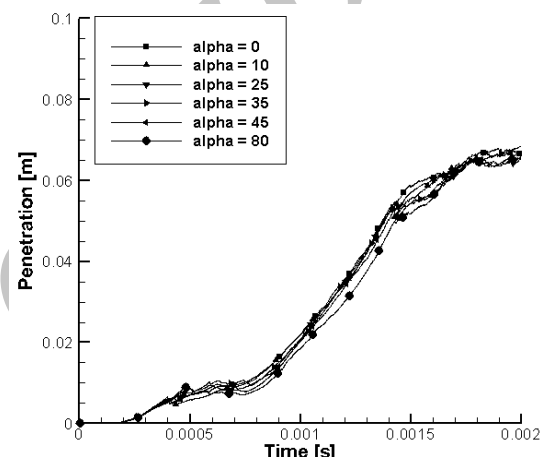
شکل ۷. تأثیر طول اختلاط گاز و مایع بر عمق



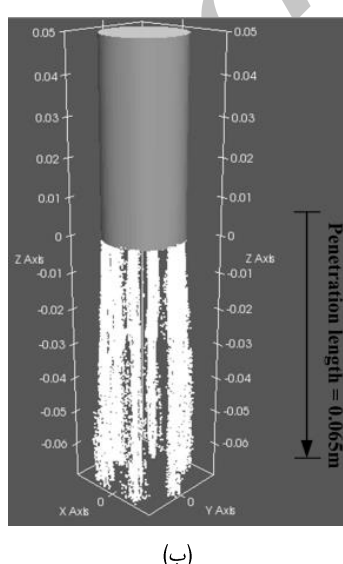
شکل ۶. تغییرات SMD بر حسب قطر تزریق در وبرهای مختلف



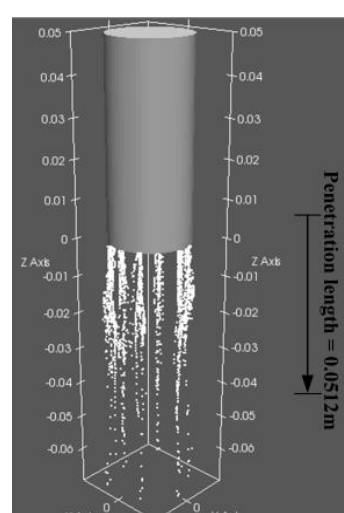
شکل ۹. تأثیر قطر تزریق مایع بر عمق نفوذ اسپری



شکل ۸. تأثیر زاویه تزریق بر عمق نفوذ اسپری



(ب)



(الف)

شکل ۱۰. عمق نفوذ اسپری شماره یک، (الف) زمان ۰/۰۰۲ ۰/۰۰۵ ثانیه، (ب) زمان ۰/۰۰۵ ۰/۰۰۲ ثانیه

جدول ۷. مشخصات اتمایزرهای شیوه سازی شده

	$d (\mu m)$	$m_{tot} (mg)$	$u_t (m/s)$	$u_g (m/s)$	$We_g$	$d_t (mm)$
۱	۵۰	۰/۰۵۶	۰/۷۳	۱۵۶	۷۲۷	۱/۸
۲	۴۰	۰/۰۵۶	۰/۷۳	۲۰۵	۱۲۵۰	۱/۸
۳	۳۵	۰/۰۵۶	۰/۷۳	۲۴۱	۱۷۵۰	۱/۸
۴	۳۰	۰/۰۵۶	۰/۷۳	۲۷۴	۲۲۵۰	۱/۸
۵	۴۵	۰/۰۴۹	۰/۸۲	۱۶۵	۷۲۷	۱/۶
۶	۳۰	۰/۰۴۹	۰/۸۲	۲۱۷	۱۲۵۰	۱/۶
۷	۲۵	۰/۰۴۹	۰/۸۲	۲۵۶	۱۷۵۰	۱/۶
۸	۳۰	۰/۰۴۹	۰/۸۲	۲۹۱	۲۲۵۰	۱/۶
۹	۳۵	۰/۰۳۷	۱/۱	۱۹۱	۷۲۷	۱/۲
۱۰	۲۵	۰/۰۳۷	۱/۱	۲۵۰	۱۲۵۰	۱/۲
۱۱	۲۰	۰/۰۳۷	۱/۱	۲۹۶	۱۷۵۰	۱/۲
۱۲	۲۰	۰/۰۳۷	۱/۱	۳۳۵	۲۲۵۰	۱/۲
۱۳	۲۵	۰/۰۲۵	۱/۶۵	۲۲۳	۷۲۷	۰/۸
۱۴	۲۰	۰/۰۲۵	۱/۶۵	۳۰۷	۱۲۵۰	۰/۸
۱۵	۱۵	۰/۰۲۵	۱/۶۵	۳۸۲	۱۷۵۰	۰/۸
۱۶	۱۵	۰/۰۲۵	۱/۶۵	۴۱۲	۲۲۵۰	۰/۸

جدول ۸. مقایسه نتایج شیوه سازی و آزمایشگاهی

Error (%)	exp	Num		Error (%)	Exp	Num
۱	۶	۶۴	۶۰	۹	۷	۴۲
۲	۳	۵۲	۵۰/۳	۱۰	۱۰	۳۳
۳	۶	۴۵	۴۲	۱۱	۱۲	۲۴
۴	۲	۴۰	۳۹	۱۲	۹	۱۷/۳۲
۵	۵	۵۵	۵۲	۱۳	۵	۲۰
۶	۲	۴۱	۴۰/۰۴	۱۴	۷	۱۱
۷	۷	۳۵	۳۲/۵۲	۱۵	۵	۹/۵
۸	۱۰	۲۹	۳۲	۱۶	۱۰	۷/۸

## ۶. مأخذ

- [1] X. Jiang, G. Siamas, K. Jagus, and T. Karayiannis, "Physical modelling and advanced simulations of gas–liquid two-phase jet flows in atomization and sprays," *Progress in Energy and Combustion Science*, vol. 36, pp. 131-167, 2010.
- [2] Lefebvre, A. H. "Airblast atomization", *Progress in Energy and Combustion Science*, vol. 6, pp. 233-261, 1980.
- [3] Lee, I. C., Y. S. Kang, H. J. Moon, S. P. Jang, J. K. Kim, J. Koo. "Spray jet penetration and distribution of modulated liquid jets in subsonic cross-flows." *Journal of mechanical science and technology*, vol. 24, pp. 1425-1431, 2010.
- [4] Liu, H. F., W. F. Li, X. Gong, X. K. Cao, J. L. Xu, X. L. Chen, et al. "Effect of liquid jet diameter on performance of coaxial two-fluid

- airblast atomizers." *Chemical Engineering and Processing: Process Intensification*, vol. 45, pp. 240-245, 2006.
- [5] Sinha, A., R. S. Prakash, A. M. Mohan, R. Ravikrishna. "Airblast spray in crossflow-Structure, trajectory and droplet sizing." *International Journal of Multiphase Flow*, vol. 72, pp. 97-111, 2015.
- [6] Ma, R., B. Dong, Z. Yu, T. Zhang, Y. Wang, W. Li. "An experimental study on the spray characteristics of the air-blast atomizer." *Applied Thermal Engineering*, 2014.
- [7] Huang, C., A. Lipatnikov. "Modelling of Gasoline and Ethanol Hollow-Cone Sprays Using OpenFOAM," SAE Technical Paper 2011.
- [8] Fung, M. C., K. Inthavong, W. Yang, J. Tu. "CFD modeling of spray atomization for a nasal spray device." *Aerosol Science and Technology*, vol. 46, pp. 1219-1226, 2012.
- [9] F. Manual, "Manual and user guide of Fluent Software," Fluent Inc, 2005.
- [10] Launder, B. E., D. Spalding. "The numerical computation of turbulent flows." *Computer methods in applied mechanics and engineering*, vol. 3, pp. 269-289, 1974.
- [11] Aránguez, A. M. Non-reacting fuel spray simulations under direct injection Diesel engine conditions, 2012.
- [12] Smallwood, G. J., Ö. L. Gülder, D. R. Snelling. "The structure of the dense core region in transient diesel sprays", Symposium (International) on Combustion, 1994, pp. 371-379.
- [13] Salewski, M., L. Fuchs. "Consistency issues of Lagrangian particle tracking applied to a spray jet in crossflow." *International journal of multiphase flow*, vol. 33, pp. 394-410, 2007.

پی‌نوشت

- 
1. air-assist
  2. air-blast
  3. sauter mean diameter (SMD)
  4. Weber number
  5. Malvern
  6. Open Field Operation and Manipulation (OpenFOAM)
  7. mega speed MS50K
  8. Malvern Master Sizer X
  9. rotary flow meter
  10. sprayFoam
  11. probability density function (PDF)
  12. cumulative distribution function (CDF)
  13. Kelvin-Helmholtz-Rayleigh-Taylor (KHRT)
  14. Taylor Analogy Based (TAB)
  15. Taylor number
  16. Ohnesorge number